

文章编号:1008-5548(2023)01-0098-09

doi:10.13732/j.issn.1008-5548.2023.01.011

## 液相沉淀法制备氧化锌-壳聚糖复合材料及其抗菌性能

秦广超<sup>1</sup>, 张宁坤<sup>1</sup>, 汪海晨<sup>1</sup>, 乐力<sup>2</sup>, 李万园<sup>1</sup>, 郑会会<sup>1</sup>

(1. 合肥学院 能源材料与化工学院, 安徽 合肥 230601; 2. 安徽江东科技粉业有限公司, 安徽 宣城 242546)

**摘要:** 以硝酸锌(zinc nitrate,  $Zn(NO_3)_2$ )为锌源, 以壳聚糖(chitosan, CS)为基底, 以氢氧化钠(sodium hydroxide, NaOH)为沉淀剂, 采用液相沉淀法制备氧化锌-壳聚糖(zinc oxide-chitosan, ZnO-CS)复合材料; 借助扫描电镜、X射线衍射分析、热重分析、X射线光电子能谱、红外光谱和紫外吸收光谱等手段进行表征, 考察ZnO-CS复合材料的形貌、结构组成以及ZnO在CS表面的吸附情况; 将ZnO-CS悬浊液涂抹在新鲜熟白米上进行ZnO-CS复合材料的抗菌性能测试。结果表明:  $Zn^{2+}$ -CS表面首先生长了一层棒状ZnO粒子膜; 通过受热反应CS表面的氨基与 $Zn^{2+}$ 、ZnO形成交联网络, 使棒状ZnO进一步生长形成片状ZnO; CS表面的氨基所形成的交联网络吸附ZnO, 得到ZnO-CS复合材料; 在时间为6 d时, 用ZnO-CS悬浊液处理后的新鲜熟白米没有生成菌落, 在时间为12 d时菌落无明显扩散, 表明ZnO-CS复合材料具有良好的抗菌作用。

**关键词:** 氧化锌-壳聚糖复合材料; 液相沉积法; 抗菌性能

中图分类号: TQ132.4

文献标志码:A

## Preparation of zinc oxide-chitosan composite materials by liquid phase precipitation method and its antibacterial properties

QIN Guangchao<sup>1</sup>, ZHANG Ningkun<sup>1</sup>, WANG Haichen<sup>1</sup>, YUE Li<sup>2</sup>, LI Wanyuan<sup>1</sup>, ZHENG Huihui<sup>1</sup>

(1. College of Energy Materials and Chemical Engineering, Hefei University, Hefei 230601, China;

2. Anhui Jiangdong Science and Technology Powder Industry Co., Ltd., Xuancheng 242546, China)

**Abstract:** Zinc oxide-chitosan (ZnO-CS) composite materials was synthesized by liquid phase precipitation method with zinc nitrate ( $Zn(NO_3)_2$ ) as zinc source, CS as base and sodium hydroxide (NaOH) as stabilizer. X-ray photoelectron spectroscopy, infrared spectroscopy and ultraviolet absorption spectroscopy, the morphology, structural composition and the adsorption of ZnO on the surface of ZnO-CS composite materials were investigated by means of scanning electron microscopy, X-ray diffraction analysis, thermogravimetric analysis. The antibacterial properties of ZnO-CS composite materials were tested by applying ZnO-CS suspension on fresh ripe white rice. The results show that a rod-like ZnO particle film is first grown on the surface of  $Zn^{2+}$ -CS. The amino group on the surface of CS is heated to form a cross-linked network with  $Zn^{2+}$  and ZnO, and rod-like ZnO is further grown to form sheet ZnO. ZnO is adsorbed by cross-linking network formed by amino group on CS surface, and ZnO-CS composite is obtained. The fresh ripe white rice treated with ZnO-CS suspension doesn't generate colonies at 6 d, and there is no obvious proliferation of colonies at 12 d, indicating that ZnO-CS composite materials has a good antibacterial property.

**Keywords:** zinc oxide-chitosan composite materials; liquid phase precipitation method; antibacterial property

氧化锌(zinc oxide, ZnO)具有广泛的抗菌性能, 具有价格低廉、绿色安全、资源丰富、稳定性强等特点, 常被用于食品添加剂、化妆品、抗菌剂等众多领域<sup>[1-2]</sup>。由于ZnO表面的羟基容易在光的影响下与电子跃迁产生的电子空穴对反应, 形成羟基自由基、超氧离子和过氧羟基自由基, 易使细胞产生氧化反应应激导致细胞退化, 削弱了生物抗菌领域的应用。

为了提高ZnO的抗菌性能, 提高生物兼容性是必不可少的。壳聚糖(chitosan, CS)作为自然界中含量丰富的天然多聚物, 不仅具有生物可降解性、生物相容性、无毒性和重金属离子吸附能力<sup>[3]</sup>, 而且对

收稿日期: 2022-06-24, 修回日期: 2022-11-10。

基金项目: 安徽省重点研发项目, 编号: 202104a05020029。

第一作者简介: 秦广超(1971—), 男, 教授, 硕士, 硕士生导师, 研究方向为材料制备与设计。E-mail: qgchao@163.com。

人体也有良好的抑菌、抗癌、降脂、增强免疫能力等多种功能,同时外观形貌可塑性强,应用方便。CS通过简易的物理、化学等方法加工后即可制成粉末、微珠、纤维和薄膜<sup>[4]</sup>。

利用CS搭载ZnO进行协同抗菌,有利于提升材料在抗菌领域的应用价值。例如,徐赵萌等<sup>[5]</sup>将壳聚糖作为外层膜包裹Ag<sup>+</sup>、Zn<sup>2+</sup>等金属离子,使金属离子发挥更好的抗菌效用,并且膜表面疏水性也得到了改善。方丹丹等<sup>[6]</sup>将丁香油和纳米氧化锌加入到壳聚糖中制备壳聚糖基纳米氧化锌,提高了材料的抗菌性,可应用于鲜肉保鲜。张晨宇等<sup>[7]</sup>将ZnO颗粒和乳酸链球菌素掺入到海藻酸钠中,再覆盖至纤维素纸表面,赋予其抗菌活性,可用于奶酪包装。可见,ZnO的抗菌性能已广泛运用在各领域,但是,采用液相沉淀法制备氧化锌-壳聚糖(zinc oxide-chitosan, ZnO-CS)复合材料,有关其结构和抗菌效果的内在联系的研究还尚未见报道。

综上,本文中以硝酸锌(zinc nitrate, Zn(NO<sub>3</sub>)<sub>2</sub>)为锌源,以CS为基底,以氢氧化钠(sodium hydroxide, NaOH)为沉淀剂,采用液相沉淀法制备具有抗菌性能的ZnO-CS复合材料;将ZnO-CS涂抹在新鲜熟白米上研究ZnO-CS的抗菌性能;通过扫描电镜、X射线衍射分析、热重分析、X射线光电子能谱、傅里叶变换红外光谱、紫外可见近红外分光光度计等技术探讨ZnO-CS复合材料的形貌、结构组成以及ZnO在CS表面的吸附情况,旨在为新型抗菌材料的开发提供理论依据和技术支持。

## 1 实验

### 1.1 试剂材料

以Zn(NO<sub>3</sub>)<sub>2</sub>为锌源,以CS为基底,以NaOH作为沉淀剂,在一定温度条件下,使溶液中的Zn<sup>2+</sup>、OH<sup>-</sup>和O<sup>2-</sup>反应生成ZnO,采用液相沉淀法工艺制备新型抗菌复合材料ZnO-CS,所用试剂材料见表1。

表1 试剂材料  
Tab. 1 Reagent materials

名称	化学式	厂家
壳聚糖(脱乙酰度≥95%)	(C <sub>6</sub> HNO <sub>4</sub> ) <sub>n</sub>	上海麦克林生化科技有限公司
硝酸锌	Zn(NO <sub>3</sub> ) <sub>2</sub> ·H <sub>2</sub> O	天津市致远化学试剂有限公司
氢氧化钠	NaOH	无锡市亚泰联合化工有限公司

### 1.2 氧化锌-壳聚糖复合材料的制备

图1为氧化锌-壳聚糖复合材料的制备过程示意图。由图可以看出,首先将浓度为0.3 mol/L的Zn(NO<sub>3</sub>)<sub>2</sub>溶液和10 g CS进行混合得到初始悬浊液,随后以浓度为0.5 mol/L的NaOH溶液作为沉淀

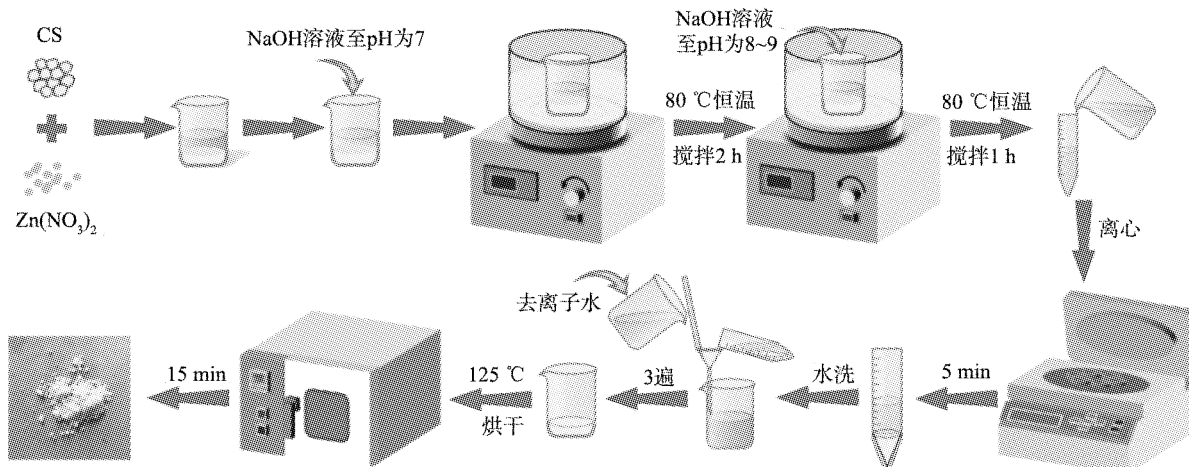


图1 氧化锌-壳聚糖复合材料的制备过程示意图

Fig. 2 Schematic diagram of preparation process of zinc oxide-chitosan composite materials

剂, 将初始悬浊液的 pH 调至中性(pH 为 7), 将悬浊液置于集热式磁力搅拌器中, 通过调节搅拌器使悬浊液在温度为 80 ℃的恒温水浴锅内搅拌 2 h, 再通过 NaOH 沉淀剂调节悬浊液 pH 至 8~9 后继续搅拌 1 h, 将悬浊液通过离心机获取沉淀物后置于温度为 125 ℃的烘箱中烘干 15 min, 最后得到的白色粉末为 ZnO-CS 复合材料。

图 2 为氧化锌-壳聚糖复合材料的制备过程中悬浊液的状态变化。由图 2(a)可见, 初始悬浊液呈混浊状态, 表明液体中  $Zn^{2+}$  附着在 CS 表面上形成一层  $Zn^{2+}$ -CS 复合物。由图 2(b)可见, 将悬浊液调制 pH 为 7 时生成大量白色沉淀物, 悬浊液由混浊状态逐渐透明化, 表明液体中的  $Zn^{2+}$  已经逐渐生成  $Zn(OH)_2$  前驱物<sup>[8]</sup>。由图 2(c)可见, 悬浊液在 80 ℃恒温水浴锅中搅拌 2 h 后, 液体中白色沉淀增多, 上层更加透明, 表明液体中的  $Zn^{2+}$  已大量生成  $Zn(OH)_2$  前驱物, 而且由于受热反应, 少量的  $Zn(OH)_2$  发生分解后生成 ZnO 沉淀物。由图 2(d)可见, 通过沉淀剂 NaOH 调 pH 和恒温加热搅拌后, 悬浊液上层呈现完全透明状态, 表明液体中已完全生成  $Zn(OH)_2$ , 且  $Zn(OH)_2$  经过 3 h 的受热反应, 生成少量的 ZnO 白色沉淀。由图 2(e)可见, 经过 125 ℃烘箱烘干水分后, 复合材料中的  $Zn(OH)_2$  受热完全生成 ZnO, 得到最后白色粉末状的 ZnO-CS 复合材料。

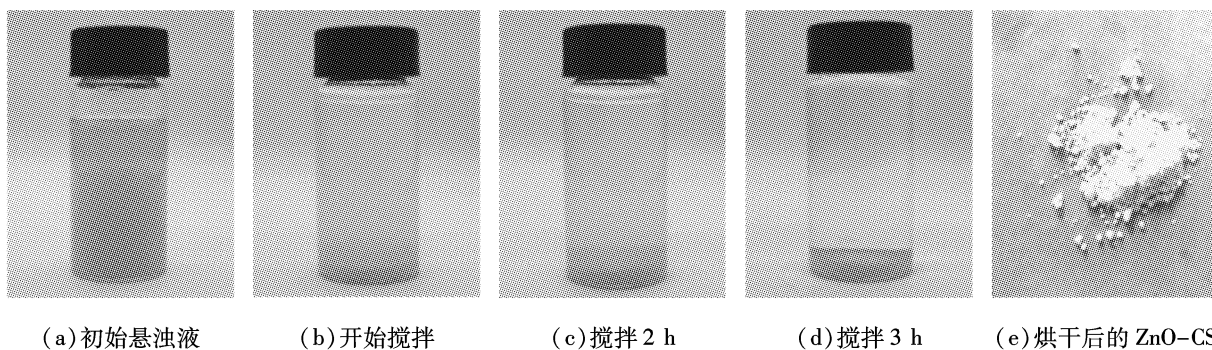


图 2 氧化锌-壳聚糖复合材料的制备过程中悬浊液的状态变化

Fig. 2 State changes of suspension during preparation of zinc oxide-chitosan composite materials

### 1.3 测试仪器与设备

实验所用测试仪器与设备见表 2。

表 2 测试仪器与设备  
Tab. 2 Test instruments and equipment

仪器名称	规格型号	用途	生产厂家
扫描电子显微镜	日立 HITACHI SU8010	形态、形貌分析	日本日立公司
X 射线衍射仪	布鲁克 D8 advance	确定材料中存在的物相	日本岛津公司
热重分析仪	STA8000	测定复合材料的热稳定性	梅特勒托利多科技(中国)有限公司
紫外可见近红外分光光度计	TP720	测量物质对可见光或紫外光的吸光度	长富科技(北京)有限公司
X 射线光电子能谱(XPS)	Thermo Kalpha	分析表面元素的及其种类和价态	美国 Kratos 公司
傅立叶变换红外吸收光谱仪(FTIR)	Thermo Nicolet iS5	解析复合材料官能团的信息	美国 OCEAN 公司
集热式磁力搅拌器	DF-101S	用于搅拌或加热搅拌同时进行	深圳市鼎鑫宜实验设备有限公司

### 1.4 氧化锌-壳聚糖复合材料的抗菌实验

首先称取质量为 1 g 已制备的 ZnO-CS 复合材料, 将其混合于 5 mL 的去离子水中, 制成 ZnO-CS 悬浊液; 取 5 g 当天煮熟未经冷藏、除水等保鲜处理的熟白米, 将 ZnO-CS 悬浊液均匀涂抹在熟白米表面, 随后装入用酒精和紫外线消毒过的玻璃溶剂瓶中; 称取未涂抹 ZnO-CS 悬浊液的新鲜熟白米 5 g 作为对照组; 于室温下自然发酵, 每 2 d 拍照记录 1 次新鲜熟白米中的菌落变化情况。

## 2 结果及讨论

### 2.1 氧化锌-壳聚糖复合材料的形貌分析

图3为不同沉积时间时氧化锌-壳聚糖复合材料的SEM图像。由图3(a)可见,搅拌3 h后CS为不规则块状形态。当样品在温度为80 ℃的恒温水浴时,悬浊液饱和度较低,悬浊液中 $Zn(OH)_2$ 沉淀在CS表面,当 $Zn(OH)_2$ 沉淀物受热时发生脱水反应生成 $ZnO$ 。因为样品中 $Zn(OH)_2$ 沉淀物未完全受热反应生成 $ZnO$ ,所生成的部分 $ZnO$ 粒子周围仍存在 $Zn(OH)_2$ 和游离的 $Zn^{2+}$ ,样品中存在的 $ZnO$ 粒子达到或超过晶核临界尺寸时,在液体环境中就会以其为晶核长成的条形 $ZnO$ <sup>[9-10]</sup>。图3(b)为在温度为125 ℃的烘箱烘干后所得的固体沉淀物ZnO-CS复合材料,CS表面被 $ZnO$ 覆盖,这是由于在加热烘干时,溶液中大量的 $Zn(OH)_2$ 受热分解为 $ZnO$ ,由于CS中的有机大分子与 $Zn(OH)_2$ 中的羟基组成交联网络的作用,使生成 $ZnO$ 的形貌呈现粒径约为500 nm的片状型颗粒<sup>[11]</sup>。

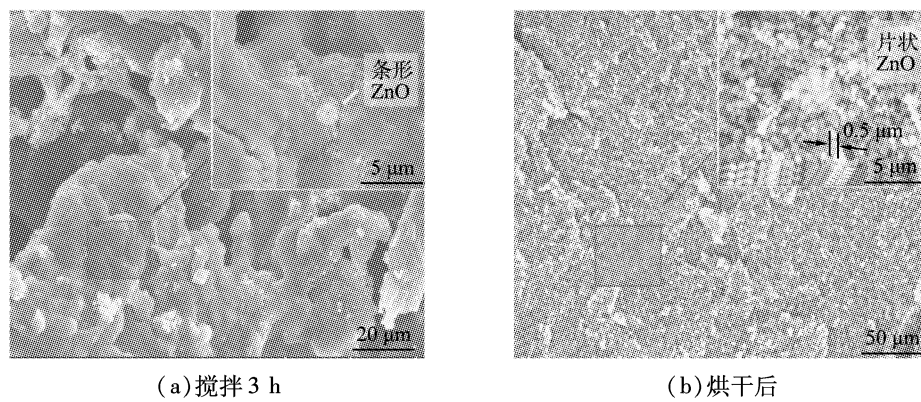


图3 不同沉积时间时氧化锌-壳聚糖复合材料的SEM图像

Fig. 3 SEM images of zinc oxide-chitosan composite materials at different deposition times

图4为烘干后氧化锌-壳聚糖复合材料的SEM-EDS元素分布图。由图可见,Zn、O元素在复合材料中的分布基本重合,而且Zn、O元素的质量分数明显多于N、C的,进一步佐证了 $ZnO$ 有效负载在CS表面。

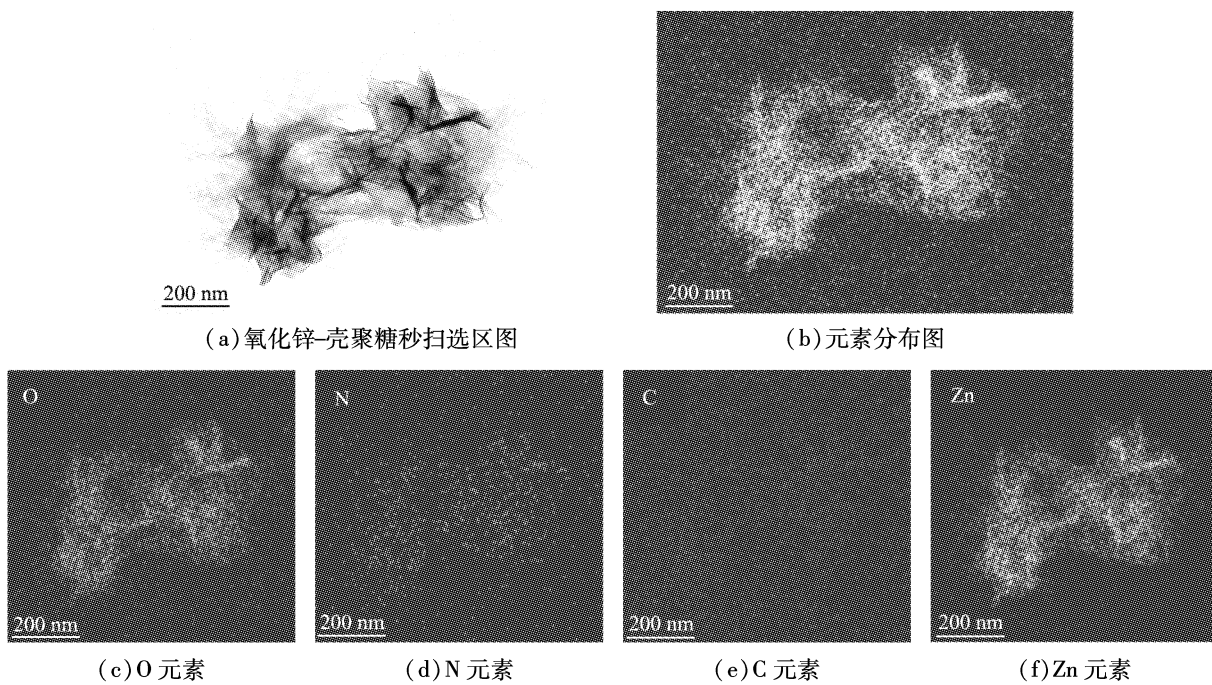


图4 烘干后氧化锌-壳聚糖复合材料的SEM-EDS元素分布图

Fig. 4 SEM-EDS element distribution of zinc oxide-chitosan composite materials after drying

## 2.2 氧化锌-壳聚糖复合材料的结构分析

图5为不同沉积时间时氧化锌-壳聚糖复合材料的XRD图谱。由图可见,黑色衍射峰为 $Zn(NO_3)_2$ 与CS悬浊液经搅拌沉积3 h后所生成的 $Zn^{2+}$ -CS衍射峰,红色衍射峰为烘干后的ZnO-CS衍射峰;  $Zn^{2+}$ -CS图谱在 $2\theta$ 为 $21.2^\circ$ 、 $44.7^\circ$ 时的衍射峰分别对应Zn晶体的(006)、(101)晶面; ZnO-CS图谱在 $2\theta$ 为 $34.4^\circ$ 、 $47.5^\circ$ 、 $56.6^\circ$ 时的衍射峰,分别对应ZnO晶体的(002)、(102)、(110)晶面,表明通过调节pH和充分受热反应后,溶液中的 $Zn^{2+}$ 、 $OH^-$ 、 $O^{2-}$ 已反应生成 $ZnO$ <sup>[12-14]</sup>;另外,在 $2\theta$ 为 $12^\circ \sim 36^\circ$ 时存在1个宽峰,这是复合物中CS的衍射峰, $Zn^{2+}$ -CS到ZnO-CS的CS峰形的改变是由于在实验过程中加入的NaOH溶液,使CS分子中的-NH-CO-、-NH<sub>2</sub>、-OH等活性基团与溶液中的 $Zn^{2+}$ 、 $Zn(OH)_2$ 和 $OH^-$ 发生配位的同时也产生了相分离,改变了CS的晶体结构,从而使CS复合物的峰形发生改变<sup>[15]</sup>;在CS衍射峰上存在多个尖锐的衍射峰,这是由于产物中含有未分解的 $Zn(OH)_2$ ,因为 $Zn(OH)_2$ 无定型,在衍射峰标准卡片中无法确定具体的 $Zn(OH)_2$ 晶面。

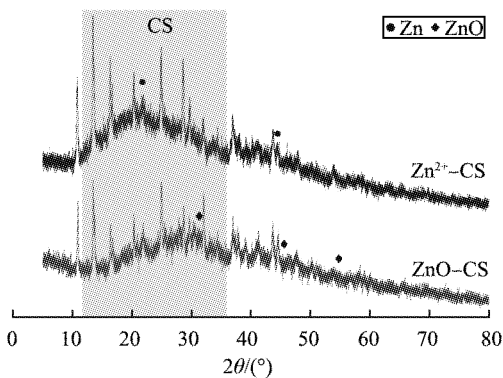


图5 不同沉积时间时氧化锌-壳聚糖复合材料的XRD图谱

Fig. 5 XRD spectra of zinc oxide-chitosan composite materials at different deposition times

图6为不同沉积时间时氧化锌-壳聚糖复合材料的TG图谱。由图可以看出,ZnO-CS的热失质量分为3个阶段,当在I区域温度为0~100℃时,由样品中表面吸附水和孔隙吸附水蒸发所致,热失质量分数约为1.87%;当在II区域温度为100~231.6℃时, $Zn(OH)_2$ 开始受热分解,热失质量分数约为2.50%;当在III区域温度为231.6~800℃时,ZnO-CS中CS大量分解,热失质量分数高达58.43%。在温度低于318.2℃时,ZnO-CS的失质量分数小于 $Zn^{2+}$ -CS的原因在于ZnO-CS经干燥处理后所含水分已被大量蒸发, $Zn(OH)_2$ 更少一些;在温度高于318.2℃时,ZnO-CS样品失质量分数大于 $Zn^{2+}$ -CS样品的原因在于 $Zn^{2+}$ -CS样品中新生成的ZnO均匀包裹CS,减少了CS中有机杂质的氧化和分解<sup>[16-17]</sup>。

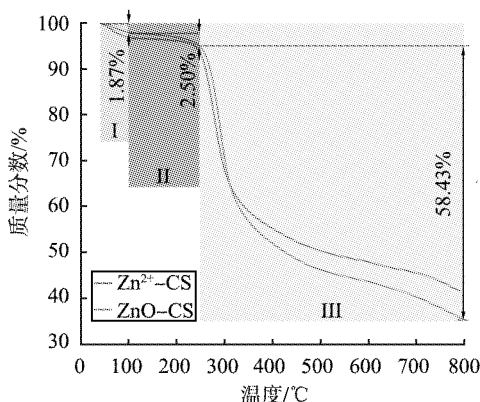


图6 不同沉积时间时氧化锌-壳聚糖复合材料的TG图谱

Fig. 6 TG spectra of zinc oxide-chitosan composite materials at different deposition times

图7为不同沉积时间时氧化锌-壳聚糖复合材料的XPS图谱。由图7(a)所示,结合能为1 045.1、1 022.1 eV的2个峰分别是由 $Zn^{2+}$ 的 $Zn\ 2p_{3/2}$ 和 $Zn\ 2p_{1/2}$ 跃迁引起的,说明当CS与 $Zn(NO_3)_2$ 溶液混合时,悬浊液中 $Zn^{2+}$ 已被吸附到CS氨基中<sup>[17]</sup>。由图7(b)、(c)可见,烘干后的ZnO-CS中Zn 2p和O 1s元素含量明显减少,在结合能为1 045.1、533.63 eV处的强峰对应于ZnO中与Zn原子复位的Zn、O原子,表明溶液中已生成ZnO化合物。

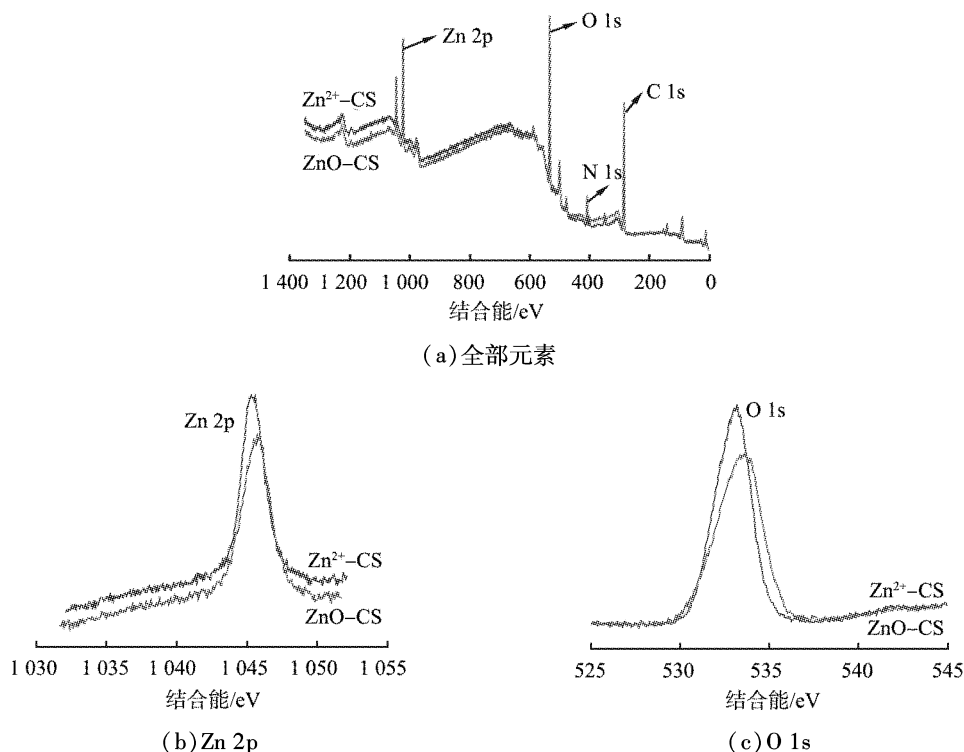


图7 不同沉积时间时氧化锌-壳聚糖复合材料的XPS图谱

Fig. 7 XPS spectra of zinc oxide-chitosan composite materials at different deposition times

图8为不同沉积时间时氧化锌-壳聚糖复合材料的FTIR图谱。由图可以看出,ZnO-CS的吸收峰明显强于 $Zn^{2+}$ -CS的;因为加入了NaOH沉淀剂,CS的有机大分子与 $Zn(OH)_2$ 和NaOH发生反应,引起了一-OH在波数为3 440、1 640  $\text{cm}^{-1}$ 处的伸缩振动;CS上的原子和 $Zn^{2+}$ 发生配位引起的-NH重叠峰在波数为3 448、1 540  $\text{cm}^{-1}$ 处向低波数偏移;CS分子中的-CN与ZnO间发生了静电作用导致波数在1 380  $\text{cm}^{-1}$ 处伸缩振动<sup>[18-19]</sup>;  $Zn^{2+}$ 与-OH配位引起-C<sub>3</sub>OH和-C<sub>6</sub>OH在波数为1 150、1 099  $\text{cm}^{-1}$ 处向高波数移动;CS上C—C—O特征吸收峰在波数为1 028  $\text{cm}^{-1}$ 处拉伸振动,表明CS分子与纳米ZnO之间有较强的氢键作用;CS分子中的-CH<sub>2</sub>-在波数为940  $\text{cm}^{-1}$ 处特征吸收峰位置发生变化。

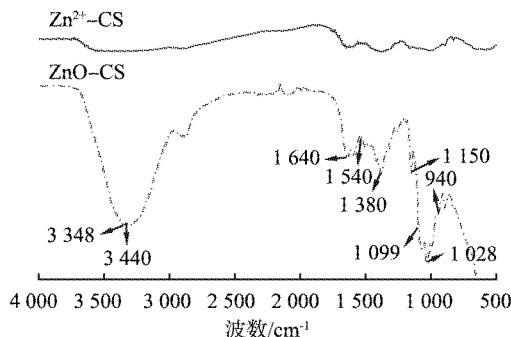


图8 不同沉积时间时氧化锌-壳聚糖复合材料的FTIR图谱

Fig. 8 FTIR spectra of zinc oxide-chitosan composite materials at different deposition times

由于CS是含O的环状聚合物以及ZnO晶体具有良好的紫外光致发光性能,因此可以通过紫外可见近红外分光光度计测试ZnO-CS复合材料的紫外吸收强度,检测出ZnO在CS表面的覆盖率<sup>[20]</sup>。图9为烘干后氧化锌-壳聚糖复合材料的紫外吸收谱图。由图可见,在近紫外区中波长为270、410 nm处有明显的吸收峰,表明CS对金属离子的吸收出现明显变化,进一步证实了ZnO晶体已覆盖在CS表面。

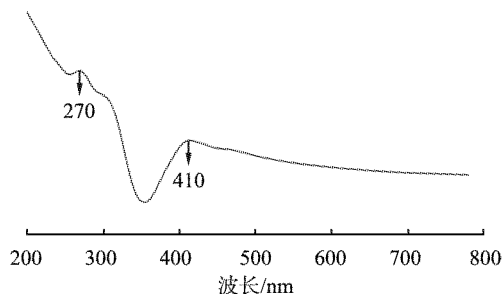


图9 烘干后氧化锌-壳聚糖复合材料的紫外吸收谱图

Fig. 9 Ultraviolet absorption spectrum of zinc oxide-chitosan composite materials after drying

### 2.3 氧化锌-壳聚糖复合材料形成机理

图10为不同沉积时间时氧化锌-壳聚糖复合材料的反应机理图。由图可以看出,反应分为5个步骤:1) Zn<sup>2+</sup>吸附到CS表面上的氨基上;2)加入NaOH沉淀剂,溶液中Zn<sup>2+</sup>与OH<sup>-</sup>反应生成Zn(OH)<sub>2</sub>沉淀;3) Zn(OH)<sub>2</sub>受热分解为ZnO,少量的ZnO溶于碱生成锌酸盐(ZnO壳的盐类),同时溶液中CS表面的氨基缓慢质子化形成-NH<sub>3</sub><sup>+</sup>,通过静电间的相互作用与溶液中的Zn<sup>2+</sup>、ZnO和ZnO壳的盐类交联,形成交联网络;4)经加热干燥后在CS表面的Zn<sup>2+</sup>、Zn(OH)<sub>2</sub>受热后完全氧化,通过CS中的有机大分子网格形成粒径约为500 nm的片状ZnO颗粒;5)再由CS表面的氨基所形成的交联网络吸附ZnO,得到ZnO-CS复合材料。

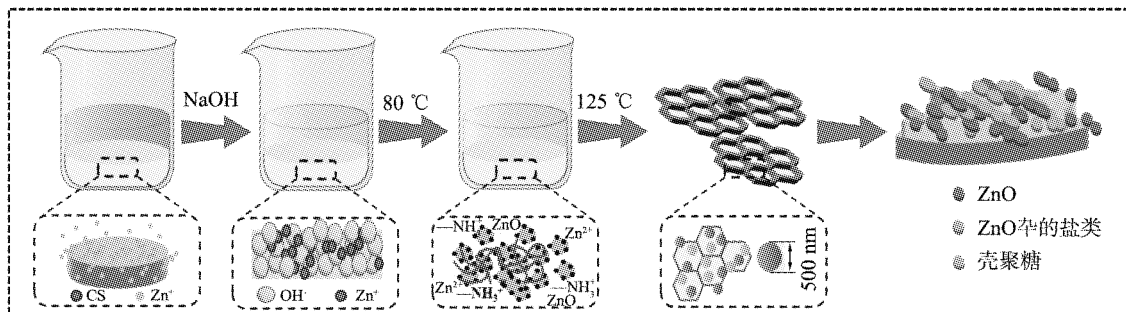


图10 不同沉积时间时氧化锌-壳聚糖复合材料的反应机理图

Fig. 10 Reaction mechanism diagram of zinc oxide-chitosan composite materials at different deposition time

### 2.4 抗菌性能

称取质量为1 g的ZnO-CS复合材料,将其混合于5 mL的去离子水中制成ZnO-CS悬浊液,并均匀涂抹在质量为5 g的新鲜熟大米的表面,制成测试样本;另取质量为5 g新鲜熟大米作为对照组。图11为氧化锌-壳聚糖复合材料的抗菌性测试。由图可以看出,在时间为2 d时测试样本和对照组尚无明显区别,在时间为4 d时熟白米已产生大量浅黄色的黄曲霉毒素和黄绿色的黄绿青霉素,在时间为6 d时熟白米已生长大量的灰白色菌丝,在时间为8、10 d时熟大米表面霉菌菌落急剧增多,在时间为12 d时熟白米已完全被菌落包覆;在时间为6 d之前,测试样本均未发现霉菌生成,在时间为8 d时开始出现微小霉菌菌落,在时间为12 d时测试样本只在2处发现微小的菌落存在,表明ZnO-CS有很强的抗菌活性,其抗菌机理有待进一步研究。

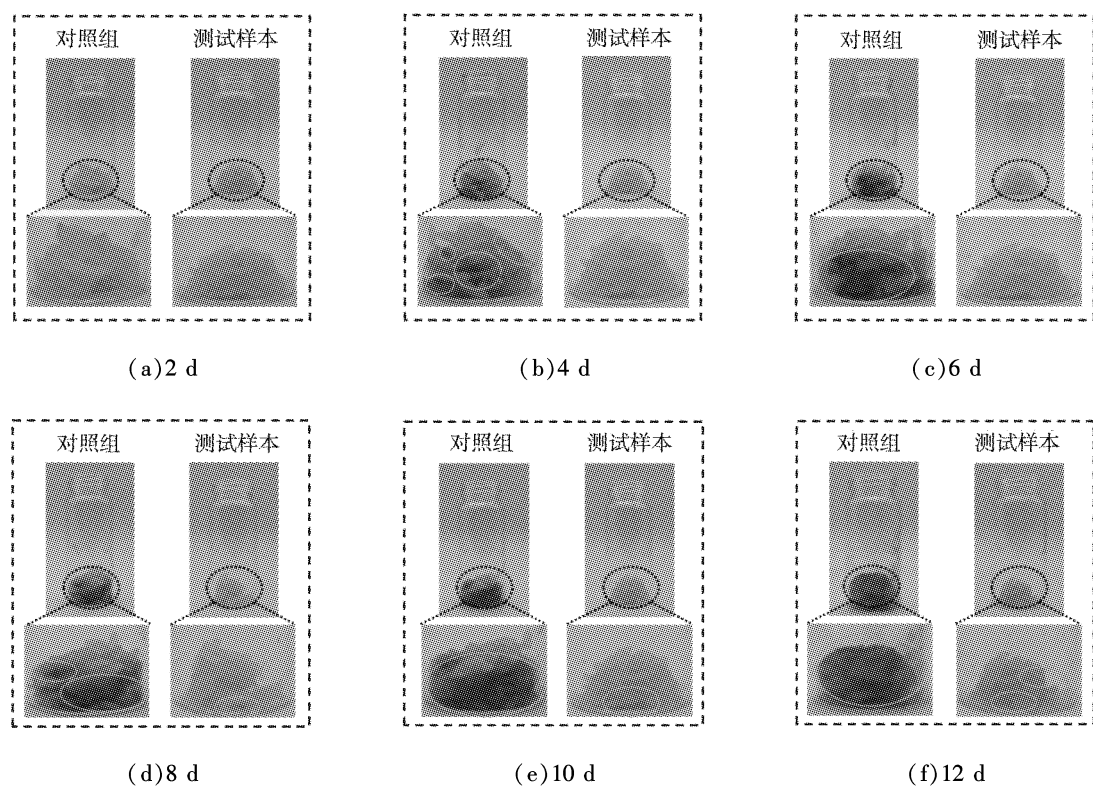


图 11 氧化锌-壳聚糖复合材料的抗菌性测试

Fig. 11 Test for antibacterial activity of zinc oxide-chitosan composite materials

### 3 结论

以  $Zn(NO_3)_2$  为锌源,以 CS 为基底,以 NaOH 为沉淀剂,采用液相沉积法制备具有抗菌性能的 ZnO-CS 复合材料;采用 SEM、SEM-EDS、XRD、TG-DTA、XPS、FTIR 和 UV-Vis 探讨 ZnO-CS 的形貌、结构组成以及 ZnO 在 CS 表面上的吸附情况;将 ZnO-CS 悬浊液涂抹在新鲜熟白米上,进行 ZnO-CS 复合材料的抗菌性能测试。

1)  $Zn^{2+}$ -CS 表面首先生长了一层棒状 ZnO 粒子膜,然后通过受热反应 CS 表面的氨基与  $Zn^{2+}$ 、ZnO 形成交联网络,使棒状 ZnO 进一步生长形成片状 ZnO;再由 CS 表面的氨基所形成的交联网络吸附 ZnO,得到 ZnO-CS 复合材料。

2) 在 6 d 的时间内,用 ZnO-CS 悬浊液处理后的新鲜熟白米没有生成菌落,在时间为 8 d 时有微小菌落生成,在时间为 10、12 d 时菌落无明显扩散,表明 ZnO-CS 具有良好的抗菌作用。

### 参考文献(References):

- [1]曹刘奇,王黎明,徐丽慧,等.球形纳米氧化锌的制备及应用研究[J].化工新型材料,2022,50(4):47-51.
- [2]WU H H, ZHANG J X. Chitosan-based zinc oxide nanoparticle for enhanced anticancer effect in cervical cancer:a physico-chemical and biological perspective[J]. Saudi Pharmaceutical Journal, 2018, 26(2): 205-210.
- [3]惠爱平,马梦婷,杨芳芳,等.季铵化壳聚糖改性 ZnO/凹凸棒石纳米复合材料及其抗菌性能[J].材料导报,2022,36(3):42-48.
- [4]HUSSEIN L, MOSTAFA M H, DARWISH M, et al. Influence of the chemically prepared chitosan/ZnO nanocomposite on the biodegradability, mechanical, and thermal properties of polypropylene[J]. Polymer-Plastics Technology and Materials, 2022, 61(2): 131-144.
- [5]徐赵萌,吴朝凌,魏旭青,等.纳米 Ag/ZnO-壳聚糖复合涂膜对带鱼鱼丸的保鲜性能研究[J].渤海大学学报(自然科学版),2020,41(4):303-307.

- [6]方丹丹, 王利强. 壳聚糖基纳米氧化锌-丁香精油抗菌复合膜对鲜肉保鲜效果[J]. 食品与机械, 2019, 35(11): 108–112.
- [7]张晨宇, 王利强. 添加 LDH-ZnO 的海藻酸钠基抗菌复合材料研究综述[J]. 包装工程, 2020, 41(23): 76–82.
- [8]OZYILMAZ G, OZYILMAZ A T, BAYRAM E I, et al. Amperometric glucose biosensor based on homopolymer-chitosan double layered glucose oxidase electrode modified with zinc oxide nanoparticles[J]. Acta Chimica Slovenica, 2019(6): 950–957.
- [9]SHEHABELDINE A M, HASHEM A H, WASSEL A R, et al. Antimicrobial and antiviral activities of durable cotton fabrics treated with nanocomposite based on zinc oxide nanoparticles, acyclovir, nanochitosan and clove oil[J]. Applied Biochemistry and Biotechnology, 2021, 194(2): 1–18.
- [10]DARWISH M S A, MOSTAFA M H, HUSSEIN L I, et al. Preparation, characterization, mechanical and biodegradation behavior of polypropylene-chitosan/ZnO nanocomposite[J]. Polymer-Plastics Technology and Materials, 2021, 60(15): 1630–1640.
- [11]安黛宗, 萧劲东, 李东英, 等. 片状纳米氧化锌单晶的制备和表征[J]. 人工晶体学报, 2004(1): 52–58.
- [12]RAJESH B J, GODVIN S V, YUKESH K R, et al. Impact of novel deflocculant ZnO/chitosan nanocomposite film in disperser pretreatment enhancing energy efficient anaerobic digestion: parameter assessment and cost exploration[J]. Chemosphere, 2022, 286(3): 131835.
- [13]AGGARWAL S, IKRAM S. Zinc oxide nanoparticles-impregnated chitosan surfaces for covalent immobilization of trypsin: stability and kinetic studies[J]. International Journal of Biological Macromolecules, 2022, 207(7): 205–221.
- [14]KUMAR S, MUDAI A, ROY B, et al. Biodegradable hybrid nanocomposite of chitosan/gelatin and green synthesized zinc oxide nanoparticles for food packaging[J]. Foods, 2020, 9(9): 1143–1149.
- [15]SHARIFAH N M, SHARIF R, NORHAYATI H, et al. Chitosan as a coating material in enhancing the controlled release behaviour of zinc hydroxide nitrate–sodium dodecylsulphate–bispyribac nanocomposite[J]. Chemical Papers, 2020, 75(3): 1–17.
- [16]JAYARAM P, SIVAKUMAR V, PERUMAL K, et al. Chitosan modified zirconium/zinc oxide as a visible light driven photocatalyst for the efficient reduction of hexavalent chromium[J]. International Journal of Biological Macromolecules, 2020, 159(15): 324–332.
- [17]WEI X Q, LI X P, WU C L, et al. The modification of in situ  $\text{SiO}_x$  chitosan coatings by  $\text{ZnO}/\text{TiO}_2$  NPs and its preservation properties to silver carp fish balls[J]. Journal of Food Science, 2018, 83(12): 2992–3001.
- [18]ELKADY M, SALAMA E, AMER W A, et al. Novel eco-friendly electrospun nanomagnetic zinc oxide hybridized PVA/alginate/chitosan nanofibers for enhanced phenol decontamination[J]. Environmental Science and Pollution Research International, 2022, 27: 1–16.
- [19]HOOMAAN J M, SEID M J, MEHRASA A, et al. Fabrication and characterization of graphene oxide–chitosan-zinc oxide ternary nano-hybrids for the corrosion inhibition of mild steel[J]. International Journal of Biological Macromolecules, 2020, 148: 1190–1200.
- [20]GEORGE D, MAHESWARI U P, BEGUM M M S K, et al. Synergic formulation of onion peel quercetin loaded chitosan-cellulose hydrogel with green zinc oxide nanoparticles towards controlled release, biocompatibility, antimicrobial and anticancer activity[J]. International Journal of Biological Macromolecules, 2019, 132: 784–794.

(责任编辑:刘鲁宁)